

تعديل قفاز ملاكمة بتقنية النانو لتقليل معامل التصادم الديناميكي غير المرن للكمات ذو التأثير المباشر على الخلايا العصبية بالرأس

***د/ خالد عبد الموجود عبدالعظيم**

****د/ أحمد محمد أبو مرکب**

المقدمة ومشكلة البحث :

تعرضت رياضة الملاكمه للنقد الواسع لأسباب مختلفة. حيث يعتبر عنصر أمانها مصدر قلق رئيسي لدى الباحثين والعلميين بالجمعيات الطبية، حيث تشير الإحصاءات أنه يوجد حوالي ١٢١٦ ملاكمًا منهم (٩٢٣ محترفًا، ٢٩٣ من الهواة) يُعرف أنهم ماتوا خلال الفترة ما بين (١٨٩٠م)، (٢٠٠٧م) من الإصابات الحادة التي تلقها الملاكمين خلال تلك الفترة الزمنية.^(١).

حيث تشير الأدلة على وجود علاقة بين حالات الوفاة والاستجابة لتأثير الكمات المتكررة إلى الرأس التي تؤدي إلى حدوث إصابات وتلف خلايا الدماغ (المخ) المزمن، والتي يمكن أن تحدث إضرابات خطيرة مثل الخرف ومرض الشلل الرعاش والمشي غير المستقر والغضب غير المبرر. (٥)، (٦)، (٧)، (٨).

لذا دفع هذا الأمر العديد من الباحثين عن التساؤل عما إذا كان تلف الخلايا العصبية في الرأس على المدى القريب أو البعيد يحدث نتيجة لقوى الاصطدام غير المرن المستمرة وذلك بداية من عام ٢٠١٠، ٢٠١١ حيث بدأ الباحثون في تتبع الآثار طويلة الأمد على الرأس ومسار تلف الخلايا العصبية بالدماغ. (٢٧)

وجاءت النتائج على أنه من الرغم أن الإصابات الدماغية المزمنة تكون أعلى في ملاكمة المحترفين عن ملاكمه الهواة وذلك بسبب طول مدة وعدد الجولات خلال المنافسة، إلا أن التصوير بالرنين المغناطيسي يظهر بشكل كبير انحرافات هيكلية واضحة في الدماغ بنسبة تصل إلى ١١٪ لدى الملاكمين الهواة على مستوى العالم. (٩)

وقد تم تفسير ذلك بأن الرأس تحتوى بداخلها على المخ وهو عبارة عن كتلة أسفنجية تطفو داخل الرأس الصلب حيث في كل مرة يتلقى فيها الرأس لكمه قوية فإنها تكسبه تسارعًا عالي ثم يلي ذلك توقف مفاجئ لتسارع الرأس والتي يترتب عليها اصطدام الكتلة الأسفنجية (المخ) بجدار الرأس الصلب فتحدث ارتجاج وتلف مزمن في الخلايا العصبية والذي ينتج عنه

* أستاذ مساعد بقسم التدريب الرياضي وعلوم الحركة- كلية التربية الرياضية- جامعة أسيوط.

** مدرس بقسم الكيمياء- كلية العلوم- جامعة أسيوط.

حدوث دوائر عصبية قصيرة والناتجة عن التأثير التراكمي للكمات المتعددة في الرأس مما يؤدي إلى إغلاق فسيولوجي للوعي. (٢)

والسبب في ذلك هو قلة دخول الإشارات الكهربائية حيث يحتوى الجسم على مكون الصوديوم والبوتاسيوم والكالسيوم المعروف (بالإلكتروليت) المذاب المسئول عن إجراء نبضات كهربائية على طول العصبونات وفي كل مرة يتلقى فيها الرأس لكمة قوية يترك البوتاسيوم الخلية العصبية ويندفع بداخلها الكالسيوم مما يحدث خلل في توازن السوائل داخل النواة، بينما يفعل الدماغ كل ما بوسعه للحفاظ على توازن تلك المستويات ولكن مع تناول الكلمات على الرأس تصبح قدرة الدماغ في المحافظة على الاتزان أمراً صعباً، فعندما يصل الجسم إلى النقطة التي يفوق فيها الضرر قدرة الجسم على إصلاح نفسه يتم إيقاف الدماغ للحفاظ على الطاقة الكافية لإصلاح العصبونات المصابة في وقت لاحق، لذا بعد إصابة الرأس يجب على القلب توفير تدفق الدم الكافي ليقوم الدماغ بإصلاح نفسه. (٣)

ويشير "أنتوني أليس" طبيب الإمراض العصبية أنه إذا كان الطلب يفوق العرض فسوف يغلق الدماغ فسيولوجياً ويؤدي مباشرةً إلى فقدان الوعي ومن المثير للدهشة أن أقدام الملاكمين غالباً ما تكون أول مؤشر على حدوث ضربة قاضية حيث عندما تتقطع الشبكات العصبية التي تنبثق من المخيخ بسبب الارتجاج يفقد الملاكم قدرته على تنسيق حركات القدمين. (٤)

والذي يزيد المشكلة خطورة على الملاكمين نصوص القانون الأخيرة المعدلة من قبل الاتحاد الدولي لملاكمة الهواة لعام ٢٠١٣م والتي تنص عليه المادة رقم (٢٢) بعدم ارتداء واقي الرأس المستخدم بهدف حماية الملاكم من الكلمات الموجه للرأس. (٥)

لذا حاولت "الجمعية الطبية البريطانية" بجرائم ممارسة رياضة الملاكمة للمحترفين والهواة على حد سواء، حيث أخذت تبحث في السجلات الطبية لتقديم الدلائل التي يمكن أن تستخدم ضد ممارسيها وهي تريد أن تشكل هذه الخطوة دليلاً طبياً حول تلف الخلايا العصبية في الدماغ إلى استنتاج مفاده أنه يجب حظر ممارسة رياضة الملاكمة. (٦).

إلا أنه هناك من يرى أن الحظر لن يؤدي إلا إلى قيادة الرياضة تحت الأرض وسوف تعمل في بيئه أقل تنظيماً وأعلى خطراً، لذا يفضل نشر استراتيجيات أو مقترحات من قبل الباحثين يكون هدفها هو التقليل من المخاطر المحتملة حيث من المرجح أن يكون ذلك أسلوباً أكثر فاعلية. وذلك يمكن تحقيقه من خلال تعديل قفازات الملاكمة المستخدمة في المنافسات. (٧) (٨).

وفي هذا الإطار أجريت دراسات وبذلت جهود عدّة من قبل الباحثين لتطوير قفازات قادرة على تثبيط قوى الاصطدام الديناميكي المسددة إلى رأس المنافس. وشملت هذه الجهود استخدام أجزاء مرنّة داخل القفازات لعرقلة الحركة الأمامية للقبضة داخل تجويف القفاز.^(١٤) لكن يُعدّ الأسلوب الأكثر شيوعاً لتصميم قفاز يهدف إلى تقليل الاصطدام الديناميكي هو استبدال حشو القفاز بالهواء. والذي بدأ في تسعينيات القرن التاسع عشر، حيث تم تسجيل براءة اختراع على الأقل لقفازات الملاكمه الهوائية أو ذات الهواء المضغوط.^(١٥) ^(١٦) براءة اختراع على الأقل لقفازات الملاكمه الهوائية أو ذات الهواء المضغوط.^(١٦) وذلك بعد أدّنى قفاز في كل عقد ما عدا فترة الثمانينات. حيث تم دمج العديد من المفاهيم الجديدة. وقد حصل أحد المخترعين، وهو "جوزيف سليزوس" (Joseph Slizus)،^(١٧) بالولايات المتحدة الأمريكية، على ثلات براءات اختراع على مدى ٢٨ عاماً.^(١٨) ^(١٩) حيث عالج بالتدرج المشكلات التي واجهته خلال التجارب العملية مع القفازات، وقام الطبيب الفنلندي "ليديريكلوفجرن" (Lyderik Löfgren) بمتابعة وتطوير قفازات هوائية لمدة سبع سنوات على الأقل تم فيها إخضاع القفازات التي أنتجها "لوفجرن" (Löfgren) لاختبارات مختبريه والتي أظهرت، مقارنة بالقفازات القياسية، أنها خفضت بشكل كبير تسارع الكتلة.^(٢٠) ^(٢١) لكن تشير الدراسات أنه حتى الآن، لم تلق القفازات هوائية ولا أي من القفازات الجديدة أي قبول أو قبول متواصل من قبل مجتمع الملاكمه. والسبب في ذلك غير معروف، لكنه يعكس دون شك صعوبة تغيير الممارسة المتبعة في رياضة ذات تاريخ طويلاً وتقاليد متقدمة.

لذا يهدف الباحثان إلى تصميم وتصنيع قفاز ملاكمه لامتصاص قوى التصادم غير المرن في ضوء الممارسة الحالية المتبعة لدى مجتمع الملاكمه وذلك باستخدام تقنية النانو ، والنانو هو علم دراسة المبادئ الأساسية للجزئيات والمركبات التي لا يتجاوز قياسها 100 نانو متر، فهو أدق وحدة قياس مترى معروفة حتى الآن.^(٢٢)

كما يتفق كل من "ريتشارد فاينمان" (Richard Feynman)، سويد (Saud ٢٠١٢م) ، "منظمات البيئة والصحة العالمية" (Birwoksel ٢٠٠٨م)، "منظمة غرين بيتس" (Greenpeace ٢٠١٢م) على أن لتقنية النانو القدرة والتأثير الكبير في كل العلوم والتكنولوجيات، وتطبيقاتها المهمة وهي ليست محصورة على مجال معين بل تشمل الإنسان والحياة معاً.^(٢٣) ^(٢٤)

حيث توصلت دراسة "ديفينتيلور" (Devin Taylor, RD ٢٥)، بعنوان "النانو تكنولوجى فى الرياضة Nanotechnology in Sports" إلى قيام بعض الشركات باستخدام تقنية النانو تكنولوجى فى اختراع وابتكار بعض الأدوات الرياضية مثل (الكرة والمضرب فى التنس، وملابس

السباحين، وحذاء العدائين في ألعاب القوى)، دراسة "أنكوش باججا" Bagga Ankush (٢٠٠١م) (٢٦) بعنوان "النانو تكنولوجيا في الرياضة القوة الصغيرة Small Nanotechnology in Sports" إلى أن تقنية النانو تتطوّي على استخدام عناصر ومواد مختلفة يمكن إدراجها في المعدات الرياضية والملابس لتحسين أداء المعدات والرياضي على حد سواء. لذا يطرح الباحثان طريقة جديدة لاستبدال الحشو الداخلي المصنوع من الإسفنج (الفوم) بأنابيب الكربون الثانية شكل (١) باستخدام تقنية النانو لامتصاص قوى التصادم الديناميكي غير المرن مع عدم الإخلال بمواصفات الفغاز القانونية من حيث الشكل والوزن المصرح به من قبل الاتحاد الدولي للملامكة (AIBA)



شكل (١) أنابيب الكربون

هدف البحث :

يهدف البحث إلى محاولة تعديل قفاز ملاكمة بتقنية النانو لتقليل معامل التصادم الديناميكي غير المرن ذو التأثير المباشر على الخلايا العصبية بالرأس"من خلال التعرف على:

- ١ - طبيعة الخصائص الميكانيكية لجزئيات مواد النانو الكيميائية المستخدمة في تعديل قفاز الملاكمه لتقليل معامل التصادم الديناميكي غير المرن.
- ٢ - الفروق الميكانيكية (قوى التصادم غير المرن - السرعة- المساحة تحت المنحني) ما بين القفاز المعدل بتقنية النانو والقفاز التقليدي ١٢ أوقية.

تساؤلات البحث :-

- ١ - ما هي طبيعة الخصائص الميكانيكية لجزئيات مواد النانو الكيميائية المستخدمة في تعديل قفاز الملاكمه لتقليل معامل التصادم الديناميكي غير المرن.
- ٢ - ما هي الفروق الميكانيكية (قوى التصادم غير المرن - السرعة- المساحة تحت المنحني) ما بين القفاز المعدل بتقنية النانو والقفاز التقليدي ١٢ أوقية.

إجراءات البحث :

منهج البحث :

- استخدم الباحثان المنهج الوصفي (دراسة الحالة) نظراً لملائمة طبيعة البحث.
- استخدم الباحثان المنهج التجريبي، بهدف إجراء التطبيقات العملية والمقارنة بين الفغاز التقليدي والغاز المعدل بتقنية النانو.

عينة البحث (العينة التحليلية) :

تتمثل العينة التحليلية في عدد (٢) فغاز ملاكمة الأول فغاز تقليدي ذو مواصفات قانونية مدرجة بقانون الاتحاد الدولي لرياضة الملاكمه ٢٠١٧م (١٢ أوقية) والثاني الغاز المعدل بتقنية النانو والتي سوف تخضع لاختبار (التحليل الحركي - التحليل الكيميائي).

الأجهزة والأدوات المستخدمة في البحث :

- عدد (١) فغاز معدل بتقنية النانو وعدد (١) فغاز تقليدي بوزن (١٢ أوقية) (٣٤٠ جرام).
- عدد (٢) كاميرا رقمية من نوع (Basler) ذات تردد ١٠٠ كادر / ث.
- صندوق تراثمن الكاميرات.
- برنامج تحليل حركي (skill specter).
- مكعب معايرة ثلاثي الإبعاد حيث بلغت أبعاده (١١٢١١٢).
- منصة قياس القوة (force plat form).
- تليسکوب الكتروني سطحي (TEM) (میزان حساس) (Analytical Balance).
- (فرن تجفيف) Drying oven.
- (مقلب مغناطيسي) Magnetic stirrer.
- جهاز الأشعة السينية والتركيب البلوري رستاميت (Rastameter) لقياس المسافات.
- میزان طبی لقياس وزن الغاز.
- علامات ضابطة.

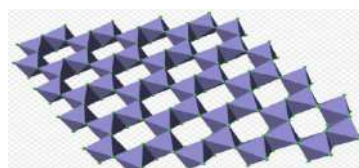
الخطوات الإجرائية للتجربة الفعلية :

أولاً : خطوات بناء وتركيب مادة النانو تكنولوجي المستخدمة في تعديل فغاز الملاكمه:

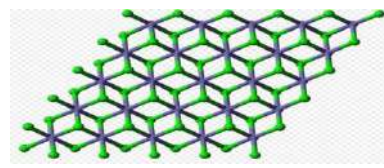
١. لكي تتم عملية تعديل فغاز الملاكمه بخاصية النانو وهي وسيلة للوصول إلى هدف البحث فلا بد من معرفة المواد الكيميائية المستخدمة ،حيث استخدم الباحثان المواد التالية في تركيب وتعديل الغاز وهي:

- كلوريد الحديدوز الثنائي شكل (٢) وهو مركب كيميائي يتكون من عنصرین ولله الصيغة الجزيئية $(Fe^{2+}Cl_2 \cdot 4H_2O)$ ومن خصائص هذه المادة انه يدخل بشكل جيد في كل من الماء والإيثanol.

- كلوريد الحديد الثلاثي شكل (٣) وهو مركب كيميائي وله الصيغة الجزيئية (Fe^{3+}) ، ومن خصائص هذه المادة انه يدخل بشكل جيد في الماء مشكلاً محلولاً ذي خاصية حمضية.



شكل (٣)



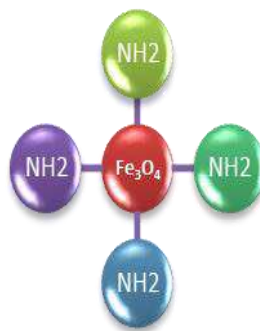
شكل (٢)

٢. إن الفكرة الأساسية من استخدام المواد السابقة هو الحصول على مادة النانو من خلال تحويل كلوريد الحديد إلى أكسيد الحديد الذي له صيغة (Fe_3O_4) فيصبح (أكسيد الحديد الثنائي Fe^{2+}) ، (أكسيد الحديد الثلاثي Fe^{3+}).

٣. يجب أن نضع في الاعتبار أن وجود الأكسجين في المواد السابقة يشكل مشكلة كبيرة لكونه يستطيع بسهوله تحويل أكسيد الحديد الثنائي إلى ثلاثي، لذلك من أهم الشروط للحصول على أكسيد ثالثي وثلاثي الحديد هو التخلص من الأكسجين المذاب الموجود داخل الماء المقطر أو الأكسجين الذي يدخل عن طريق الهواء، ولكي يتم التخلص من الأكسجين المذاب لابد أثناء التحضير أن يمرر غاز خامل (inert gas) مثل استخدام غاز أرجون (Argon) و رمزه (Ar) أو غاز النيتروجين ورمزه (N)، وهو يمنع حدوث تفاعلات كيميائية مثل الأكسدة نتيجة أثر الأكسجين وقد استخدم الباحثان غاز الأرجون (Argon) في الدراسة الحالية وهو يقوم بدوره بطرد الأكسجين واستبداله بغاز الأرجون المرمر. ومن أهم شروط التأكيد من طرد الأكسجين المذاب هو ضبط وإحكام غلق الوعاء الذي يحتوى على المواد الكيميائية المستخدمة في البحث، والشرط الثاني هو أن يتحول سائل النانو في نهاية مدة التحضير إلى اللون الأسود وليس إلى أي لون آخر.

٤. بعد طرد الأكسجين المذاب وأصبح غاز خامل لابد أن نضع في الاعتبار أن أثناء تحضير مادة النانو التأكيد من عدم وجود ترسيب في المادة التي تم تحضيرها، كما يجب أن تكون مادة النانو تتميز بثبات عالي لكي نتمكن من الاحتفاظ بها لأطول فترة زمنية ممكنة حتى نستطيع استخدامها مرة أخرى وحسب الاحتياج لها، كما يجب أن تتميز مادة النانو بخصائص وظيفية تمكننا إذا ما تم دمجها بمواد كيميائية أخرى أن تعطى خصائص وظيفية افضل، لذا تم إضافة مادة (CTAB) وهي مادة ثلاثي ميثيل الالومينيوم، مع مراعاة انتشار تلك المادة في محلول.

٥. لكي يتم تحويل المواد المستخدمة من صورة كلوريد إلى صورة أكسيد (Fe_3O_4), لذا تم إضافة الوسط القلوي وهو هيدروكسيد الصوديوم (Na OH) حيث من خلال الحرارة تتطاير جزيئات الماء ويعطى أكسيد الحديد، ولكي نجعل تلك المادة لها مجموعات وظيفية من مجموعات من الأحماض الأمينية (amino acid)، حيث تحدث إحاطة أو تكوين غشاء حول جزيء (Fe_3O_4) من خلال مجموعات وظيفية من (NH_2) شكل (٤)، حيث تساعد تلك المجموعات من تحسين خصائص المادة، كما تساعد على استقبال أي مادة أخرى يتم إضافتها لتحسين خصائص مادة النانو، ويتم تكوين مجموعات الامينيوم من خلال مادة (3-Aminopropyl) triethoxy silane (APTES) اختصار .



شكل (٤)

٦. لكي يحدث اتصال ما بين مادة (NH_2) بمادة أخرى (CHO) بهدف الحصول على مادة واحدة لذاك يتم إضافة مادة تسمى glutaralde - hyde وتنتمي بخصائص بيولوجية وهي مادة سائلة زيتية عديمة اللون وصيغتها الكيميائية $\text{OHC(CH}_2\text{)}_3\text{CHO}$ وزنها الجزيئي ١٢٠.١٢ جرام/مول، ونظرا لأن مادة الفوم الأسفنج الموجودة بالقفاز قد تحتوى على مجموعه من مجموعات الامينو أو النيتروجين داخل الفوم ففي هذه الحالة وبعد إضافة مادة glutaralde - hyde سوف يحدث اتصال وتشابك قوى بين المواد ببعضها البعض لتكوين مادة واحدة وهي مادة النانو.

مؤشرات الحصول على مادة النانو بخصائص مغناطيسية عالية :

نظرا لأنة يوجد أكثر من صورة لأكسيد الحديد فقد يكون (ثنائي) أو (ثلاثي) أو (ثنائي مع ثلاثي) أو يظهر في صورة أكسيد حديد ثلاثي مع اختلاف اتجاهه ويسمى (ألفا بيتا جاما) لذاك يجب التأكد من أننا حصلنا على مادة النانو بخصائص مغناطيسية عالية لذا يوجد مؤشرين وهم :

- مؤشر اللون حيث يكون اللون في بداية تحضير مادة النانو باللون الأصفر ثم يتتحول إلى درجات اللون البني ثم في النهاية يتتحول إلى اللون الأسود شكل (٥).
 - المؤشر الثاني ويكون من خلال التحاليل للتأكد من وجود الصورتين وهم أكسيد الحديد الثنائي والثلاثي.
٧. بعد الانتهاء والتأكد من الحصول على مادة النانو من خلال المؤشرات السابقة يتم غمر فوم القفاز في مادة النانو لمدة ٢٤ ساعة حتى يتم تشبّع فوم القفاز المعدل بمادة النانو شكل (٦).
٨. بعد تشبّع فوم القفاز بمادة النانو يدخل إلى مرحلة التجفيف داخل فرن حراري عند درجة حرارة (60°) ولمدة ٤٨ ساعة شكل (٧).



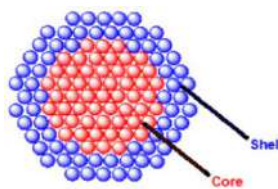
شكل (٥) مادة النانو شكل (٦) غمر فوم القفاز



شكل (٧) مرحلة التجفيف

خطوات تحليل خصائص مادة النانو وفوم القفاز المعدل والقفاز التقليدي:

وفي هذه الخطوة سوف يقوم الباحثان بإجراء تحليل لثلاث عينات (مادة النانو، فوم القفاز المشبع بمادة النانو، وفوم القفاز التقليدي) شكل (٨)، وذلك بهدف التعرف على التعرّف على وجود مادة النانو بجزيئات مادة الفوم التقليدي وتشابكها، وأيضاً الأبعاد الهندسية لمادة النانو من حيث الحجم بوحدة قياس ($n.m$) ، وأيضاً المجموعات الوظيفية المكونة للمواد الثلاث، والتأكد من أن الجسيمات النانوية مغلفة بمواد أخرى (Core-shell) شكل (٩) وأيضاً طريقة توزيع العناصر المكونة لمادة النانو.



شكل (٩)



شكل (٨)



ولكي نتمكن من استخراج ما سبق ذكره سوف يستخدم الباحثان تليسكوب الكترونی نافذ (SEM) scanning transmission electron microscope لرؤیة عمق الخلیة ، كما سوف يستخدم الباحثان تليسكوب الكترونی سطحي (TEM) Transmission electron microscopy

وسوف يستخرج الباحثان أيضاً متغير (FTTR) وذلك لرؤیة المجموعات الوظیفیة للمادة بغرض التأکد من أن المواد الکیمیائیة قد حدث لها تشابک فيما بینها.

ثانياً : الخطوات العلمیة لاختبار القفاز المعدل بتقنية النانو والقفاز التقليدي :
١ - القبضة المیکانیکیة:

قام الباحثان بتصميم قبضة میکانیکیة من الخشب يمكن إدخالها في القفاز لمحاکاة الذراع البشریة ومحاکاة الأداء الحقیقی شکل (١٠) وقد تم إدخالها في القفاز لاختبار قویة الاصطدام للقفاز المعدل بتقنية النانو والقفاز التقليدي أثناء عملية السقوط الحر على منصة قیاس القویة (force platform).



شكل (١٠) القبضة المیکانیکیة

٢ - طریقة اختبار القفاز :-

قام الباحثان بإجراء بعض الحسابات النظریة في ضوء معادلات السقوط الحر ولقد توصل الباحثان إلى أن سقوط القفاز المعدل والتقلیدی من على ارتفاع ٥ متر يجب أن ینتج سرعة ما قبل الاصطدام بالأرض 9 m/s وهی قریبة من السرعة المحسوبة بواسطة نظام التحلیل الحركی [Simi motion].

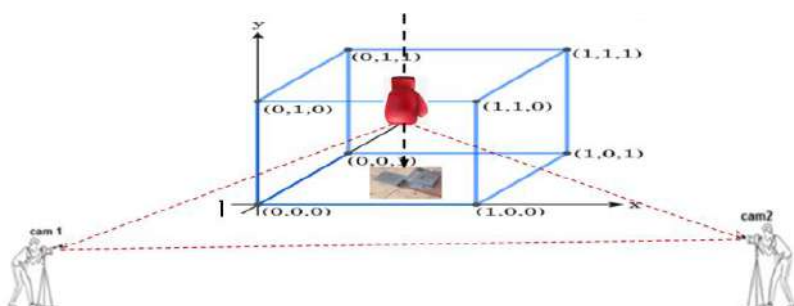
كما استخدم الباحثان منصة قیاس القویة من نوع [Bertec4060-10] شکل (١١) ، حيث اجروا الاختبار بكلیة التربية الرياضیة - جامعة الإسكندریة ، لحساب مقدار قویة الاصطدام المرن بالمنصة ولتحقيق ذلك تم وضع بكرة في سقف المعلم على ارتفاع ٥.٥ متر على أن تكون عمودیة على مركز منصة قیاس القویة شکل (١٢) ، وتم وضع القبضة المیکانیکیة المصممة من الباحثان داخل القفاز وتعليق القفاز من القبضة بخيط يمر في البكرة

المعلقة في سقف المعمل ، حيث يمكن من خلال الخيط التحكم في ارتفاع القفاز ، وقد أجرى الباحثان اختبار قياس قوة الاصطدام من ارتفاعات متدرجة و تمأخذ عينات من مخرجات لوحة القوة عند ١٠٠٠٠ هرتز ، وقد تم وضع الكتل المعروفة بانتظام على لوحة القوة كوسيلة للتحقق من دقة قراءات لوحة القوة قبل الاستخدام.



شكل (١٢) منصة قياس القوة [Bertec 4060-10]

تم استخدام نظام [Simi motion] ، بعدد (٢) كاميرا رقمية من نوع (Basler) ذات تردد ١٠٠ صورة في الثانية لتحديد سرعات القفازات قبل وبعد الاصطدام بلوحة القوة شكل (١٣). تم وضع العلامات على القفازات لتمكن تحديد الإزاحة وبالتالي حساب السرعة على مدى فترات زمنية متتالية تبلغ ٢ ملي ثانية. تم تزامن الكاميرات لضمان دقة الحسابات وللحصول على صور ثلاثة الأبعاد لمسارات القفازات (المعدل ، التقليدي).



شكل (١٣)

**موضوع كاميرات تصوير القفاز خلال تجربة السقوط الحر على منصة قياس القوة
بروتوكول التجربة :**

تم إسقاط القفازات ذات الوزن (١٢ أوقية) على لوحة القوة من تسعة ارتفاعات تتراوح من ١ إلى ٥ أمتار، مع فارق بطول ٠.٥ متر بين الارتفاع والأخر. تراوحت ارتفاعات الهبوط كالتالي ١.٠٠، ١.٥، ٢، ٢.٥، ٣، ٣.٥، ٤، ٤.٥، ٥ متر.

عرض ومناقشة نتائج البحث :

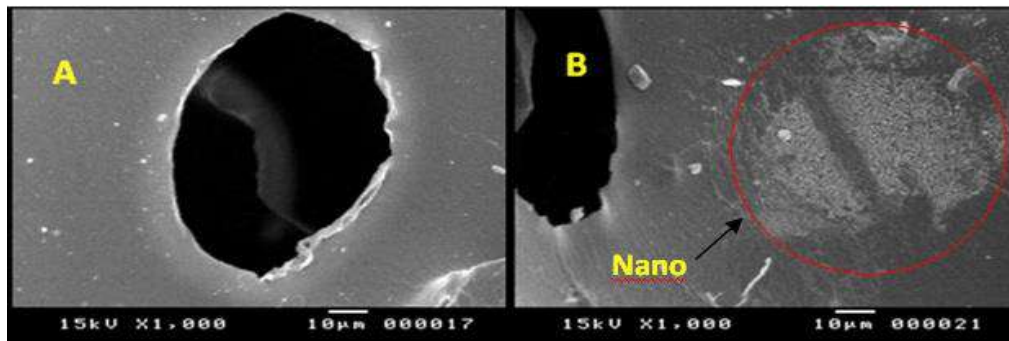
- ما هي طبيعة الخصائص الميكانيكية لجزئيات مواد النانو الكيميائية المستخدمة في تعديل قفاز الملامة لتقليل معامل التصادم الديناميكي غير المرن ؟

قد أجرى الباحثان تحليل لثلاث عينات هي (مادة النانو، فوم القفاز المشبع بمادة النانو، وفوم القفاز التقليدي) شكل (٤)، وذلك بهدف التعرف على وجود مادة النانو بجزئيات مادة الفوم التقليدي، وأيضاً الأبعاد الهندسية لمادة النانو من حيث الحجم بوحدة قياس (n.m)، وأيضاً المجموعات الوظيفية للمواد الثلاث، وما هي نسب كل عنصر من هذه العناصر الموجودة، ولقد تمكن الباحثان من استخراج ما سبق ذكره حيث استخدم الباحثان ثلاثة أنواع من التحليل وهي كالتالي :

أولاً : تحليل التلسكوب الإلكتروني نافذ (SEM)

microscope

وفي هذا التحليل أجرى الباحثان مقارنة ما بين مادة الفوم للقفاز التقليدي شكل رقم (٤ - A)، والفوم المشبع بمادة النانو شكل رقم (٤ - B) وذلك تحت نفس المقاييس وهي (١٥ كيلو فولت

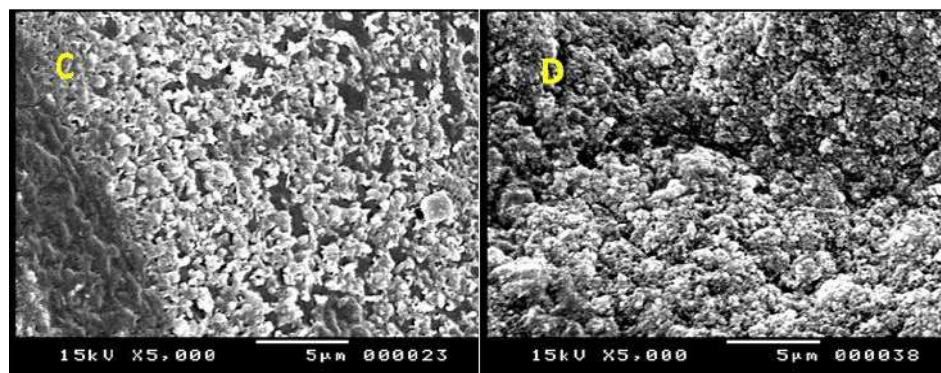


شكل (٤) الفوم التقليدي (A) ، الفوم المشبع بمادة النانو (B)

ولكي نتأكد من أن مادة النانو موجودة وتماسكت بجزئيات مادة الفوم تم عمل تكبير عند مقدار (١٠٠٠٠ مللي ميكرو) وقد لوحظ انه يوجد اختلاف ما بين الصورة (A) والصورة (B) ومن أوجه الاختلاف وجود مادة باللون الرمادي الفاتح شكل (٤) صورة (B)، وهى قد تعنى وجود مادة النانو وتماسكها بجزئيات مادة الفوم للقفاز التقليدي.

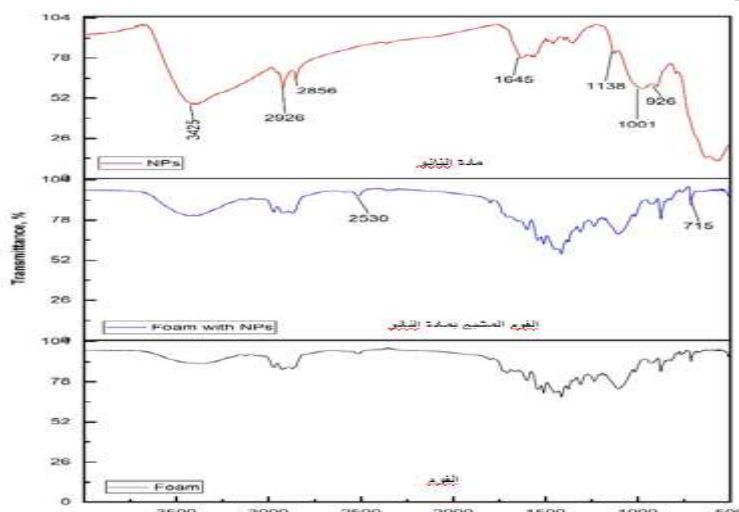
ولكي نتأكد من أن المادة ذات اللون الرمادي الفاتح الموجودة في شكل (٤) صورة (B) هي مادة النانو تم تحليل مادة النانو فقط والتي تم تجهيزها من قبل الباحثان عند مقدار

(١٥ كيلو فولت) وبتكبير (٥٠٠ مللي ميكرو) شكل (١٥) صورة (D)، نفس الإجراء تم إجراء تحليل آخر لمادة الفوم المشبع بمادة النانو شكل (١٤) صورة (B) ولكن عند تكبير هو (٥٠٠٠ مللي ميكرو) شكل (١٥) صورة (C) وقد تبين أن خصائص مادة النانو شكل (١٥) صورة (D) هي نفس خصائص المادة ذات اللون الرمادي الفاتح الموجود في شكل (١٥) صورة (C)، ومن هنا تأكيد الباحثان من وجود مادة النانو وتشابكها بجزيئات مادة الفوم الخاصة بالقفاز التقليدي.



شكل (١٥) مادة النانو صورة (D) ومادة الفوم المشبع بالنانو صورة (C)

ثانياً: تحليل الأشعة تحت الحمراء (Fourier Transmission Infrared (FTIR))
يعد الهدف الأساسي من هذا التحليل هو معرفة المجموعات الوظيفية الموجودة في الثلاث مواد التي تم تحليلها وهي (مادة النانو، مادة الفوم المشبعة بالنانو، مادة الفوم) وشكل رقم (١٦) يوضح المجموعات الوظيفية للمواد الثلاث.



شكل (١٦) المجموعات الوظيفية للمواد الثلاث (نانو - فوم مشبع بمادة النانو - فوم)

تظهر نتائج التحليل في شكل (١٦) المجموعات الوظيفية لكل مادة والتي تتراوح قيمها الكيميائية ما بين (٣٤٢٥ إلى ٧١٥)، وقد أجرى الباحثان مقارنة بين المواد الثلاث بعد الكشف عن تلك القيم بالجدول الكيميائي الخاص بها، تبين من تلك المقارنة وجود سبعة خصائص أو مجموعات وظيفية للمواد الثلاث التي أجرى لها التحليل وهي تتركب من المواد الكيميائية التالية :

جدول (١)

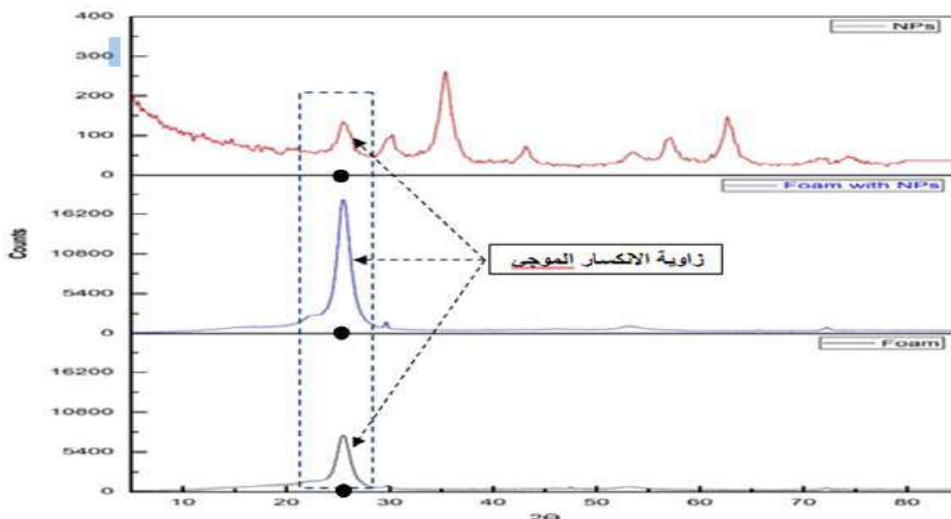
المجموعات الوظيفية لمادة النانو ومادة الفوم المشبعة بمادة النانو

المواد	مصطلاح المجموعات الوظيفية	قيم المجموعة الوظيفية	المادة	م
-	NH amide	3425	مادة النانو المجهزة من الباحثان	1
	-CH aldehyde	2926		2
	-CH aliphatic	2856		3
	-C=O carbonyl of amide	1645		4
	OET ether	1138		5
	- OET ether	1001		6
تمييزها بـ مادتين إضافيتين	-O – H carboxylic acid	2530	الفوم المشبوع بمادة النانو	7
	Alkanes	715		8

يظهر جدول (١) المجموعات الوظيفية التي تتركب منها مادتي (النانو)، (الفوم المشبوع بمادة النانو) ومن الملاحظ أن مادة الفوم المشبعة بمادة النانو قد تميزت بـ مادتين إضافيتين بجانب المواد السابقة والخاصة بمادة النانو المجهزة من قبل الباحثان، ومن الملاحظ أن التفاعل الكيميائي بالكامل قد حدث عند المنطقة (3425) وهذا يؤكد لنا انه قد حدث مزج وتشابك ما بين مادة النانو وجزيئات مادة الفوم للفاز التقليدي في ضوء التفاعل الكيميائي الذي حدث عند تلك المنطقة.

ثالثاً: تحليل الأشعة السينية (X-ray Diffraction (XRD))

ويكشف هذا التحليل عن المستوى أو الطبقة من الناحية البلورية التي ذهبت إليها مادة النانو وفضلت الاندماج معها، ومن ثم حدوث تشابك لمادة النانو مع جزيئات مادة الفوم (ha45) أو مستوى (1.36)، أي أن لكل مادة موجودة في الكون يوجد لها زاوية انكسار موجي فكلما زادت كثافة المادة زاد معها معامل الانكسار الموجي لهذه المادة، شكل رقم (١٧) يظهر زاوية الانكسار الموجي.



شكل (١٧) زاوية الانكسار الموجي للمواد الثلاث (نانو- فوم مشبع بمادة النانو- فوم)
يظهر شكل (١٧) زوايا الانكسار الموجى لكل مادة والمستوى أو المنطقة التي قد
فضلتها مادة النانو الاندماج معها، حيث كما هو موضح بالشكل فان المستوى الثاني عند
مقدار $2\theta = 25.48$ عند مستوى أو منطقة = 3.496.

ومن حيث الأبعاد الهندسية لحجم جسيم مادة النانو قد استطاع الباحثان حساب حجم
مادة النانو بشكل غير مباشر وذلك بالاعتماد على نتائج الأشعة السينية [X-ray Diffraction]
، والطول الموجي للأشعة تحت الحمراء ، وباستخدام المعادلة الخاصة بحساب حجم
الجسيمات وهي معادلة [Scherrer's equation] وهي كالتالي :-

$$\text{Particle Size} = (0.9 \times \lambda) / (d \cos \theta) \quad [29]$$

فإن حجم المواد النانوية الموجودة داخل فوم قفاز الملاكمة التقليدي بلغت = 24.34 نانو
متر.

وبذلك استطاع الباحثان التوصل إلى إعداد مادة النانو والتعرف على الخصائص
الميكانيكية لها وضمان اندماجها وتشابكها بجزيئات مادة الفوم الخاص بقفاز الملاكمه التقليدي.
- **الفروق الميكانيكية** (قوى التصادم غير المرن - السرعة- المساحة تحت المنحنى) ما
بين القفاز المعدل بتقنية النانو والقفاز التقليدي ١٢ أوقية.

لكي يتحقق الباحثان من وجود فروق في بعض المتغيرات الميكانيكية وهى (قوى
التصادم غير المرن- السرعة- المساحة تحت المنحنى) اجري الباحثان اختبار السقوط الحر ،
وعلى ارتفاعات متدرجة لقفاز المعدل والمشبع بمادة النانو والقفاز التقليدي (١٢ أوقية) (٣٤٠)
جرام)، وقد جاءت نتائج الاختبار على النحو التالي :

أولاً: أقصى قوى للاصطدام غير المرن بين القفاز المعدل بتقنية النانو والقفاز التقليدي:-

جدول (٢)

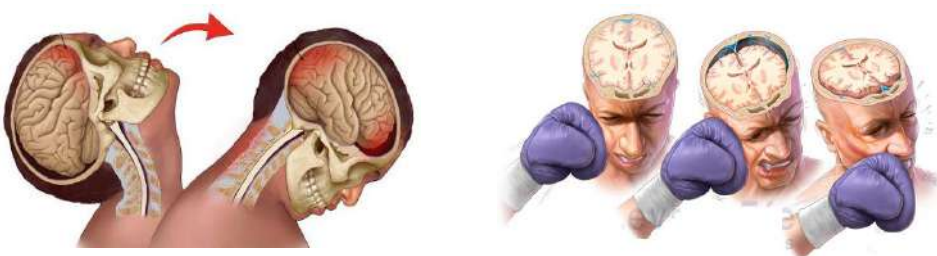
**أقصى تأثير لقوى الاصطدام غير المرن والفارق ونسبة الفارق خلال السقوط الحر
للقفاز المعدل والتقليدي (١٢ أوقية)**

نسبة الفارق %	الفارق		أقصى قوى للاصطدام غير المرن				وحدة القياس	ارتفاع السقوط	م
	k.g	(N)	القفاز المعدل	القفاز التقليدي	k.g	(N)			
29.30	22.0	215.8	53.08	520.7	75.1	736.54	متر	1.00	1
21.34	22.3	218.31	82.01	804.49	104.3	1022.80	متر	1.50	2
11.28	15.9	156.34	125.30	1229.23	141.2	1385.57	متر	2.00	3
12.98	21.3	209.35	143.08	1403.57	164.4	1612.92	متر	2.50	4
17.25	37.4	366.56	179.27	1758.62	216.6	2125.18	متر	3.00	5
10.38	23.9	235.31	207.2	2032.65	231.2	2267.96	متر	3.50	6
13.24	42.6	417.71	278.9	2736.54	321.5	3154.25	متر	4.00	7
7.2	27.9	273.23	369.3	3623.12	397.2	3896.35	متر	4.50	8
7.74	35.3	345.93	420.3	4123.47	455.6	4869.4	متر	5.00	9

يظهر جدول (٢) نتائج اختبار امتصاص قوة الاصطدام الديناميكي غير المرن من خلال السقوط الحر العمودي على منصة قياس القوة حيث تراوح مقدار القوة والفارق ونسبة الفارق والتي تراوحت ما بين %٧.٢ عند ارتفاع ٤.٥ متر، %٢٩.٣ عند ارتفاع ١ متر لصالح القفاز المعدل بتقنية النانو عن القفاز التقليدي.

ويعزى الباحثان تلك النتيجة إلى أن القوة عندما تؤثر على جسم ما فإنها تكسبه تسارعاً وتزيد من كمية حركته وكلما كانت القوة كبيرة كلما كان التسارع كبيراً وكانت الزيادة في كمية التحرك كبيرة أيضاً.

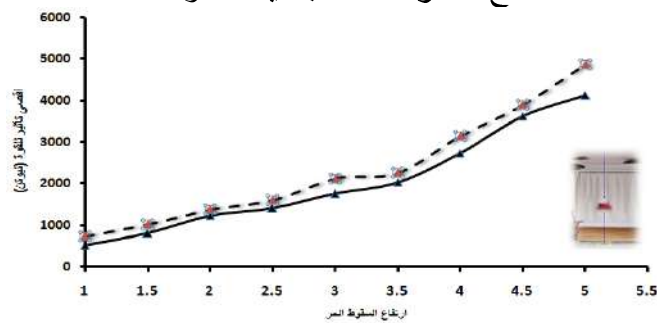
ويستنتج الباحثان من ذلك أن في كل مرة تتلقى فيها رأس اللاعب لكمه قوية شكل (١٨) فإنها تكسبه تسارعاً عالياً ثم يلي ذلك توقف مفاجئ لتسارع الرأس والتي يتربّ عليها اصطدام الكتلة الأسفنجية (المخ) بجدار الرأس الصلب فتحدث ارتجاج وتلف مزمن في الخلايا العصبية والذي ينتج عنه حدوث دوائر عصبية قصيرة والناتجة عن التأثير التراكمي للكلمات المتعددة في الرأس مما يؤدي إلى إغلاق فسيولوجي للوعي.



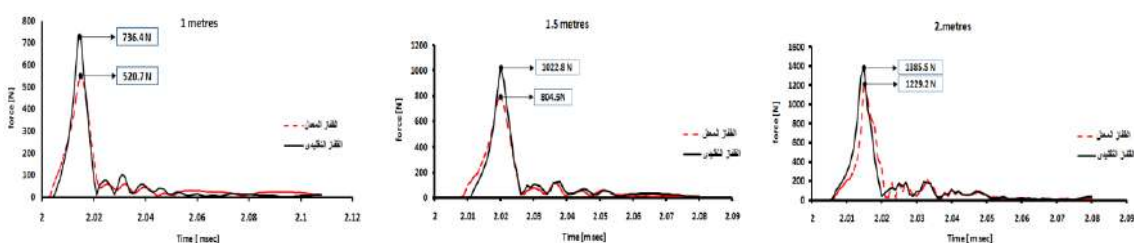
شكل (١٨)

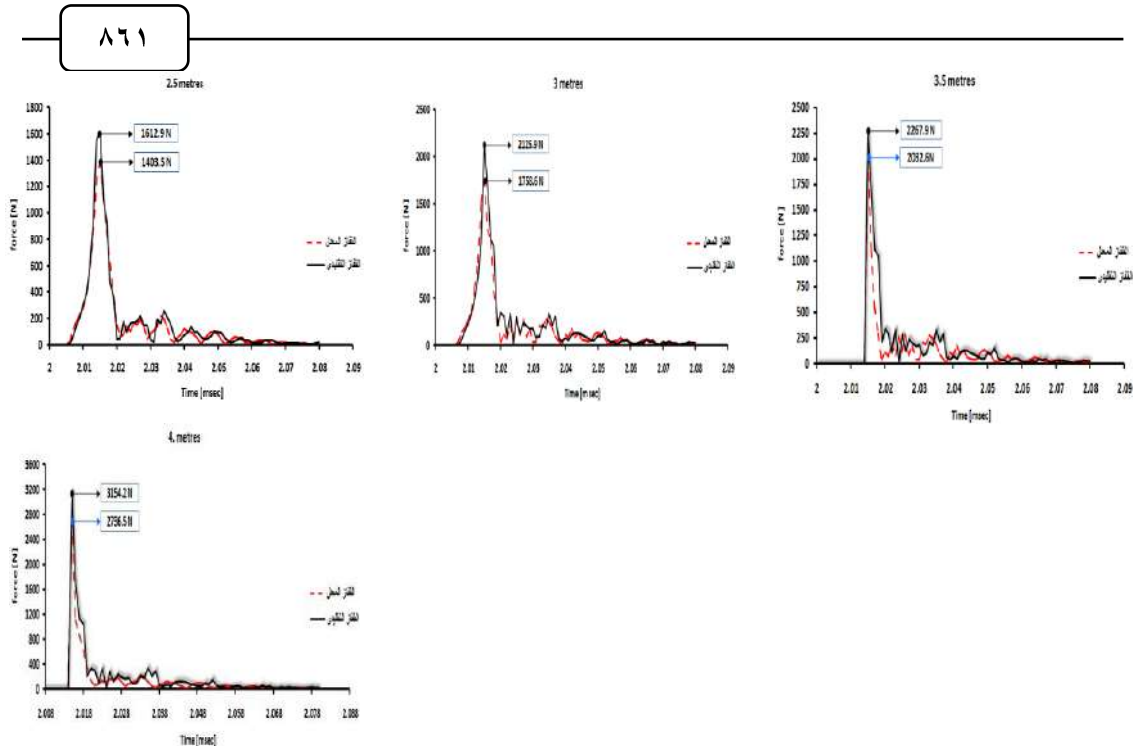
ويظهر جدول (٢) أن هناك ميل لزيادة قراءات أعلى قمة للقوة على مدار سلسلة من ٩ ارتفاعات من السقوط الحر والعمودي على مركز منصة قياس القوة، خلال تجربة السقوط للفاز (المعدل بتقنية النانو - التقليدي).

لكن هناك امتصاص واضح في قوى الاصطدام غير المرن التي يوفرها الفاز المعدل بتقنية النانو بتأثيرات وفائية خلال ارتفاع هبوط يبدأ عند ١ متر حتى ٥ متر ، على النقيض من ذلك، استمر الفاز التقليدي بفارق متزايد في مقدار قوى الاصطدام غير المرن بشكل مستمر كلما ازداد الارتفاع التدريجي أثناء اختبار السقوط الحر والعمودي على مركز منصة قياس القوة وذلك عن الفاز المعدل، حيث كانت قراءات أقصى قوة اصطدام أقل في الفاز المعدل المشبع بمادة النانو عن الفاز التقليدي خلال التدرج حتى ٥ أمتار بفارق يتراوح ما بين ٣٠٪ - ٢٩٪ لصالح الفاز المعدل بتقنية النانو.



شكل (١٩) قراءات أقصى تأثير لقوى الاصطدام للفاز المعدل والفالز التقليدي (١٢ أوقية)





شكل (٢٠) منحنيات أقصى قوة بين القفال المعدل والقفال التقليدي

يلاحظ من شكل (٢٠) لمنحنيات أقصى تأثير لقوة الاصطدام غير المرن بين القفال المعدل والتقليدي والمستخرج من منصة قياس القوة أن هناك فارق واضح في تأثير القوى القصوى والتي تظهر قدرة القفال المعدل بتقنية النانو على امتصاص قوة الاصطدام غير المرن عند الاصطدام بمنصة قياس القوة خلال السقوط الحر على مدار الارتفاعات المختلفة.

ثانياً: أقصى سرعة للفافار المعدل بتقنية النانو والقفال التقليدي قبل لحظة الاصطدام :-

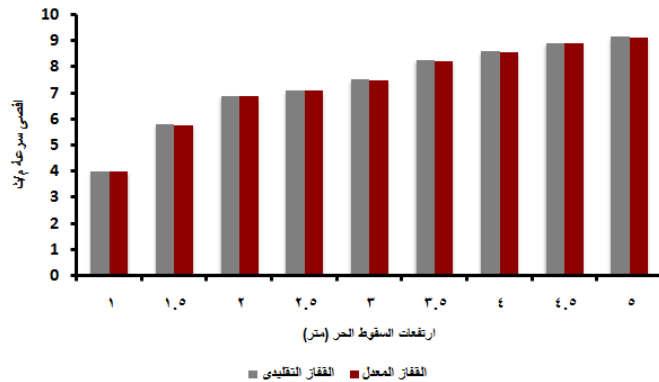
يظهر شكل (٢١) أقصى قيمة لسرعة القفال المعدل و التقليدي قبل لحظة الاصطدام بمنصة قياس القوة، حيث أظهرت نتائج قياس السرعة فروق طفيفة للغاية ما بين القفالين في معدل السرعة القصوى والتي تكاد أن تكون معدومة حيث تراوحت نسبة الفارق ما بين [0.8%] [0.0%] ، والسبب في ذلك أن وزن القفال المعدل لم يتغير ،فعلى الرغم من تعديل القفال وتشبعه بمادة النانو إلا انه لم يحدث تغير في وزن القفال عن وزنة الفعلي وهو (١٢ أوقية) (٣٤٠ جرام) شكل (٢٢)، (٢٣) حيث عمد الباحثان على المحافظة على المواصفات القانونية للفافار المعتمدة من قبل الاتحاد الدولي للملاكمه.



شكل (٢٢) وزن القفاز المعدل بتقنية النانو

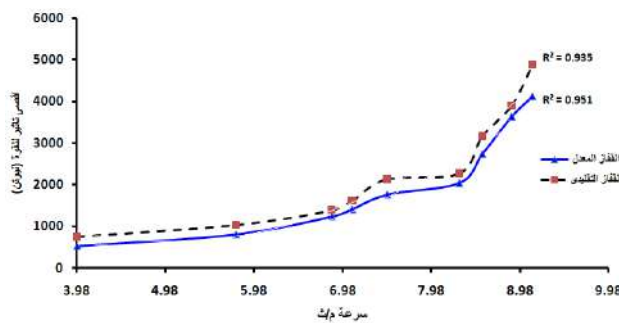


شكل (٢٣) وزن القفاز التقليدي



شكل (٢١) قراءات أقصى سرعة للففاز المعدل والقفاز التقليدي قبل لحظة الاصطدام (١٢ أوقية)

كما أظهرت القياسات تزايد في معدل السرعة عند كل ارتفاع ، فعندما يسقط جسم من مكان مرتفع عن سطح الأرض فأن هذا الجسم يبدأ حركته من السكون متوجهًا لأسفل تحت تأثير قوة جذب الأرض له ، وبإهمال مقاومة الهواء يكتسب الجسم عجلة منتظمة تسمى عجلة الجاذبية الأرضية أو (عجلة السقوط الحر). هذه العجلة تعمل على زيادة سرعته تدريجيا حتى تصل إلى أقصى قيمة لحظة اصطدامه بمنصة قياس القوة. وكلما كان ارتفاع الجسم الساقط من على ارتفاع أكبر كانت سرعة اصطدامه أكبر. ومن ثم توجد علاقة ارتباطيه طردية ما بين مقدار القوة ومقدار السرعة خلال اختبار السقوط الحر للففاز المعدل والقفاز التقليدي شكل (٢٤)



شكل (٢٤) العلاقة ما بين سرعة القفاز وقوه الاصطدام

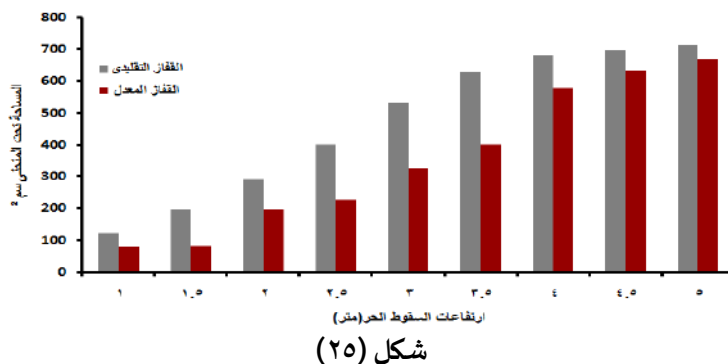
ثانياً: المساحة المحسوبة تحت المنحنى بين لففاز المعدل بتقنية النانو والقفاز التقليدي :-
توجد علاقة ما بين مقدار زمن وقوه الاصطدام غير المرن بمنصة قياس القوة
والمساحة المحسوبة تحت المنحنى ، ووفقا للاختبار الذي أجراه الباحثان تبين وجود علاقة طردية وقد جاءت النتائج على النحو التالي :-

جدول (٣)

المساحة الكلية تحت منحنى القوة المتغيرة خلال السقوط الحر للفاز التقليدي والمعدل
ن = (٢)

نسبة الفارق %	الفارق	المساحة الكلية		وحدة القياس	ارتفاع السقوط	م
		الفاز المعدل سم ²	الفاز التقليدي سم ²			
33.1	40.3	81.6	121.9	متر	1.00	1
58.7	115.8	81.6	197.4	متر	1.50	2
32.1	93.4	197.1	290.5	متر	2.00	3
43.7	176.0	226.3	402.2	متر	2.50	4
38.7	205.7	325.7	531.4	متر	3.00	5
36.0	225.8	401.6	627.5	متر	3.50	6
14.8	100.6	578.2	678.8	متر	4.00	7
9.0	62.6	632.5	695.1	متر	4.50	8
6.2	44.0	668.5	712.5	متر	5.00	9

يظهر جدول (٣) وشكل (٢٥) المساحة الكلية تحت منحنى القوة المتغيرة مع الزمن ما بين الفاز التقليدي والفار المعدل وترواحت أدنى فارق مساحة 40.3 سم² بنسبة مؤوية 33.1 % عند ارتفاع 1 متر وأقصى فارق مساحة 225.7 سم² بنسبة مؤوية 36 % عند ارتفاع 3.5 مترا.



تعبر المساحة الكلية تحت منحنى تغير القوة مع الزمن عن كمية فيزيائية هي متوسط قوة الدفع وهى القوة الثابتة التي إذا أثرت على الجسم خلال نفس الفترة الزمنية التي تؤثر فيه القوة المتغيرة على الجسم أكسبته نفس الدفع ، ومن خلال المقارنة ما بين الفاز التقليدي والفار المعدل يتبين لنا عظم المساحة الكلية تحت المنحنى بالنسبة للفاز التقليدي، ويعزى الباحثان تلك النتيجة إلى وجود علاقة طردية ما بين مقدار تأثير القوة والمساحة تحت المنحنى، حيث أعطى الفاز التقليدي مقدار تأثير أكبر في قوة الاصطدام عن الفاز المعدل بتقنية النانو، والسبب هو أن الخصائص الميكانيكية لجزيئات مواد النانو الكيميائية المستخدمة

في تعديل قفاز الملاكمه لتقليل معامل التصادم الديناميكي غير المرن لديها القدرة على امتصاص قوى الاصطدام لذا جاءات المساحة الكلية أسفل منحنى قوة القفاز المعدل اقل من القفاز التقليدي.، وتعد تلك النتيجة هي الهدف الرئيس من البحث الحالي الذي أجراه الباحثان وبذلك يكون قد تحقق الهدف الأسماي من البحث وهو تقليل معامل التصادم الديناميكي المرن وهو.

استنتاجات البحث :

- تمكن الباحثان من التوصل إلى طبيعة الخصائص الميكانيكية لجزيئات مواد النانو الكيميائية المستخدمة في تعديل قفاز الملاكمه لتقليل معامل التصادم الديناميكي غير المرن.
- أثبتت نتائج التحليل الكيميائي قدرة الباحثان على تحويل كلوريد الحديد إلى أكسيد الحديد الذي له صيغة (Fe_3O_4) والذي أصبح (أكسيد الحديد الثنائي Fe^{2+}), (أكسيد الحديد الثلاثي Fe^{3+}).
- توصل الباحثان إلى مادة نانو تتميز بثبات عالي حيث يمكن الاحتفاظ بها لأطول فترة زمنية ممكنة واستخدامها مرة أخرى حسب الاحتياج لها ،كما تتميز بخصائص وظيفية تمكنا إذا ما تم دمجها بمواد كيميائية أخرى تعطى لنا خصائص وظيفية افضل تساعد على زيادة امتصاص التصادم.
- تظهر نتائج تحليل التليسكوب الإلكتروني النافذ (SEM) من وجود مادة النانو بفوم القفاز وحدوث اتصال وتشابك قوى بين المواد بعضها البعض والتي كونت مادة واحدة وهي مادة الفوم المشبع بمادة النانو.
- اظهر تحليل الأشعة تحت الحمراء (FTIR) المجموعات الوظيفية لمادة النانو والتي تتراوح قيمها الكيميائية ما بين (٢١٥ إلى ٣٤٢٥)، مع تميز مادة النانو بـ مادتين إضافيتين.
- يعد المستوى الثاني هي تلك المنطقة التي اندمجت بها مادة النانو مع جزيئات مادة الفوم لقفاز الملاكمه فان المستوى الثاني عند مقدار $=20$ 25.48 عند مستوى أو منطقة $=3.496$.
- توصل الباحثان إلى حجم جسيمات مادة النانو الموجودة في فوم القفاز التقليدي من حيث الحجم بوحدة قياس (n.m) وقد بلغ حجم جسيمات المادة النانوية $=24.34$ نانو متر
- اظهر القفاز المعدل بنتقية النانو القدرة على امتصاص قوى التصادم غير المرن على مدار الارتفاعات المتدرجة من (١ متر حتى ٥ متر) عن القفاز التقليدي بنسبة فارق تراوحت ما بين ٣٪ ٢٩٪ عند ارتفاع ٤.٥ متر إلى ٧٪ ٢٪ عند ارتفاع ١ متر.

- أظهرت نتائج قياس السرعة القصوى قبل الاصطدام ما بين القفاز المعدل والتقليدي فروق طفيفة للغاية، حيث تراوحت نسبة الفارق ما بين [0.0% : 0.6%]، والسبب في ذلك أن وزن القفاز المعدل بتقنية النانو لم يتغير عن الوزن القانوني وهو (١٢ أوقية) (٣٤٠ جرام).

- تراوح أدنى فارق مساحة ما بين قفاز الملاكمه التقليدي والقفاز المعدل 40.3 سم² بنسبة 33.1% عند ارتفاع 1 متر وأقصى فارق مساحة 225.7 سم² بنسبة مئوية 36% عند ارتفاع 3.5 متر وتلك الزيادة لصالح قفاز الملاكمه التقليدي.

توصيات البحث :

نظراً لتميز مادة النانو المجهزة من قبل الباحثان بمجموعات وظيفية وقدرتها العالية على الامتزاج بشكل متجانس مع مواد أخرى وتشابك قوى لذا يوصى الباحثان بالاتي :-

- تبني الاتحاد الدولي لرياضة الملاكمه [AIBA] ، والاتحاد المصري للملاكمه نتائج الفكرة المقدمة من الباحثان من خلال إعادة تصنيع قفازات الملاكمه باستخدام مادة النانو التي توصل لها الباحثان لما لها من عظيم الأثر الواضح من خلال حماية رأس الملاكم من تلف الخلايا العصبية نتيجة الل Karnas المترافقه وذلك عن طريق تقليل معامل التصادم الديناميكي غير المرن.

- التوسع في استخدام مادة النانو التي توصل لها الباحثان والتي تتميز بمجموعة من الخصائص الوظيفية والكيميائية في تطبيقات أخرى على رياضات تتميز بالاحتراك والتصادمات أثناء ممارسة تلك الرياضات ، وذلك من خلال إجراء دراسات مشابهه لما لها من أثر ايجابية في الوقاية من حدوث الإصابة الرياضية.

((المراجـع))

- 1- Svinth, J. (2007): Death under the Spotlight :Analyzing the Data. Journal of Combative Sport, 1-19.
- 2- TaijiNeigong Tai Chi (Taijiquan), Chi Kung (Qigong), and Nei Kung (Neigong., (2014): The Science of the Knockout (KO) - <http://taijineigong.com/the-science-of-the-knockout/>.
- 3- <https://www.popularmechanics.com/adventure/sports/a6372/boxing-knockout-sports-science/>

- 4- **Warburton, N. (1998):** Freedom to Box. Journal of Medical Ethics, 24, 56-60. - <https://doi.org/10.1136/jme.24.1.56>
- 5- **Lundberg, G. (1993):** Medical Arguments for Nonparticipation in Boxing. In: Medi- cal Aspects of Boxing , CRC Press , Boca Raton , 11 – 15.
- 6- **McCrory , P. , Zazryn ,T and Cameron , P (2007):** the Evidence for Chronic Trau- matic Encephalopathy in Boxing. Sports Medicine , 37, 467 – 476.
- 7- **Pineda, P. and Gould, D (2010):** The Neuroanatomical Relationship of Dementia Pugilistica and Alzheimer's Disease – Neuroanatomy , 9,5-7.
- 8- **Jordan , B. (2000):** Chronic Traumatic Brain Injury Associated with Boxing. Semi- nars in Neurology ,20 ,179 – 185. <https://doi.org/10.1055/s-2000-9826>.
- 9- **Cabanis, E.-A. ,Iba – Zizem,M.-T.,perez, G., Senegas ,X., Furgoni, J., pineau ,J., C., et al. (2010):** Boxing.- Traumatology and Prevention. Bulletin De l, De Medecine, 194 , 1219 – 1236.
- 10- **Aiba Open Boxing (Aob) Competition Rules (2012):** <https://d152tffy3gbaeg.cloudfront.net/2015/02/AIBA-AOB-Competition-Rules-April-26-2017.pdf>.
- 11- Warburton ,N.(1998) Freedom to Box. Journal of Medical Ethics ,24,56-60.<https://doi.org/10.1136/jme.24.1.56>.
- 12- BBC Sport Online(2000) Is Boxing a Spent Force? <https://www.google.com.au/#q=Is+boxing+a+spent+force+18+December+2000>.
- 13- **American Medical Association (1999):** Boxing Injuries.

- 14- **Stanford, A. (1996):** Boxing Glove. US5502841A-
[https://www.google.com/patents/US5502841.](https://www.google.com/patents/US5502841)
- 15- **Shibe, B. F. (1894):** Boxing– Glove US531872A-
<https://www.google.com/patents/US531872>
- 16- **Carrillo, H (2006):** Pneumatic Device for Boxing Gloves to Reduce Head Trauma. US7043763B2.[https://www.google.com/patents/US7043763.](https://www.google.com/patents/US7043763)
- 17- **Slizus, J. and Kairis, M (1938):** Pneumatic Boxing Glove. US2135853A-[https://www.google.com/patents/S2135853.](https://www.google.com/patents/S2135853)
- 18- **Slizus, J.(1953):** Pneumatic Boxing Glove- US2653319 A
[https://www.google.com/patents/US2653319.](https://www.google.com/patents/US2653319)
- 19- **Slizus, J. (1966):** Pneumatic Boxing Glove - US3247520A -
<https://www.google.com/patents/US3247520>
- 20- **Lofgren, L. (1964):** The Pneumatic Boxing Glove. In - International Research in Sport and Physical Education , Charles C. Thomas , Springfield , 650 -655.
- 21- **Hahn, A- G-. Helmer, R-J-, Mackintosh,C-, Staynes ,L – M-and Blanchonette , I (2011):** Technological Foundations and Current Status of a Modified , LOW - Risk Form of Competitive Boxing (Box Tag®). Sports Technology ,4,178-184 - [https://doi.org/10.1080/19346182.2012.725413.](https://doi.org/10.1080/19346182.2012.725413)
- 22- **Hillie, Thembela; Hlophe, Mbhuti (2007):** “Nanotechnology and the challenge of clean water” Nature Nanotechnology (11) 663 - 664. doi:10.1038/nnano.2007.350.
- 23- **Bhat Naturally:** Bringing sports fans closer to brands through nanotechnology, 21 October, 2008, 04, December, 2008, [http://www.Ibhat.com/advertising/this-is-not-a-jersey-all-blacks-adidas-newzealand/.](http://www.Ibhat.com/advertising/this-is-not-a-jersey-all-blacks-adidas-newzealand/)

- 24- Nanopedia (2008): Nanotechnology and Sports,**
The web course of nanotechnology, 03, December, 2008, <http://nanopedia.case.edu/NWPrint.php?page=nw.nanosports>.
- 25- Devin Taylor, RDWrecking Crew (2008): Nanotechnology in Sports,** Project Report submitted, by Devin Taylor, RDWreckingCrew@yahoo.com , Fall 2008.
- 26- Ankush Bagga (2011): Nanotechnologyin Sports “ The Power of Small”,** Wilson sports, U.S.A.
- 27- Cabanis , E. - A., Iba - Zizen , M. - T. , Perez , G. , Senegas , X. , Furgoni , J., Pineau , J. - C. , et al.. (2010) Boxing :** Traumatology and Prevention. Bulletin De l' Academie Nationale De Medecine , 194 , 1219 – 1236.
- 28- John D Pierce, Kirk A Reinbold, Barry C Lyngard (2006): Direct Measurement of Punch Force During Six Professional Boxing Matches,** doi.org/10.2202/1559-0410.1004
- 29- Saleh, T.A., Chapter 7 - Structural characterization of hybrid materials, in Polymer Hybrid Materials and Nanocomposites,** T.A. Saleh, Editor. 2021, William Andrew Publishing. p. 213-240.